

ЭКСИТОННЫЕ ПОЛЯРИТОНЫ В ПОЛУПРОВОДНИКАХ СО СВЕРХРЕШЕТКОЙ

Ивченко Е. Л., Кособукин В. А.

Теоретически исследовано распространение экситонных поляритонов в сверхрешетке, которая образована чередующимися слоями диэлектрика и полупроводника с пространственной дисперсией, определяемой конечной трансляционной массой экситона. Выведено дисперсионное уравнение для нормальных световых волн. В длинноволновом приближении найдены компоненты тензора эффективной диэлектрической проницаемости для рассматриваемой среды со сверхрешеткой. Показано, что в спектре поляритонов, распространяющихся перпендикулярно слоям, возникают щели, положение и ширина которых существенно зависят от толщины слоев сверхрешетки. При наклонном распространении сохраняются эффекты пространственной дисперсии и, в частности, существуют добавочные световые волны.

1. *Введение.* В последнее время значительно возрос интерес к задачам о распространении волн в периодических структурах. Это связано с созданием разнообразных новых материалов, в том числе и полупроводниковых [1], для которых характерно периодическое чередование слоев, имеющих различные физические свойства. Такие структуры, получившие название сверхрешеток (СР), обладают во многих отношениях уникальными свойствами, не сводящимися к объемным свойствам компонентов СР. Для теории волн в сверхрешетках новых типов характерно рассмотрение с учетом частотной дисперсии, обусловленной коллективными возбуждениями той или иной физической природы. С этой точки зрения в сверхрешетках изучались спиновые волны [2], плазмоны [3, 4], поляритоны [5, 6].

В данной работе рассматриваются экситонные поляритоны в сверхрешетке, одним из компонентов которой является полупроводник, обладающий не только частотной, но и пространственной дисперсией диэлектрической проницаемости. Помимо практического интереса, связанного с созданием систем указанного типа [1], этот вопрос имеет самостоятельный теоретический интерес. Дело в том, что при учете пространственной дисперсии, т. е. при конечной эффективной массе экситонов, в однородном кристалле существуют добавочные световые волны (см. обзор [7]). Влияние пространственной дисперсии на спектр световых волн в сверхрешетке рассматривалось ранее в [6] в длинноволновом приближении. В отличие от [6] здесь решена задача об энергетическом спектре экситонных поляритонов в полупроводнике со СР с учетом эффектов локального поля и проведено сравнение результатов, полученных при точном рассмотрении и в приближении эффективной среды.

В разделе 2 получено дисперсионное уравнение для экситонных поляритонов в полупроводнике со СР. В разделе 3 рассмотрена диэлектрическая функция системы с учетом эффектов локального поля. Длинноволновой предел проанализирован в разделе 4. Обсуждение результатов проведено в заключительном разделе.

2. *Дисперсионное уравнение.* Выведем дисперсионное уравнение для нормальных световых волн в бесконечной сверхрешетке, составленной из последовательности двойных слоев (рис. 1). Первый слой имеет толщину a и характеризуется постоянной диэлектрической проницаемостью ϵ_1 , второй слой имеет

толщину b и характеризуется изотропной диэлектрической проницаемостью с резонансным экситонным вкладом [7]

$$\varepsilon(\omega, \mathbf{q}) = \varepsilon_0 \left(1 + \frac{\omega_{LT}}{\omega_0(\mathbf{q}) - \omega} \right), \quad (1)$$

$$\omega_0(\mathbf{q}) = \omega_0 + (\hbar q^2/2M). \quad (2)$$

Здесь ω_0 — резонансная частота экситона, ω_{LT} — продольно-поперечное расщепление, M — трансляционная масса экситона, ε_0 — фоновая диэлектрическая проницаемость (в общем случае $\varepsilon_0 \neq \varepsilon_d$).

Учитывая периодический характер сверхрешетки, будем искать решения системы макроскопических уравнений Максвелла в виде блоховских функций, удовлетворяющих следующим свойствам:

$$E_Q(\mathbf{r}) = E_Q(z) e^{i\mathbf{Q}\mathbf{r}\parallel},$$

$$E_Q(z+a+b) = e^{iQz(a+b)} E_Q(z), \quad (3)$$

где $\mathbf{r}\parallel$ — составляющая радиуса-вектора \mathbf{r} , параллельная границе раздела

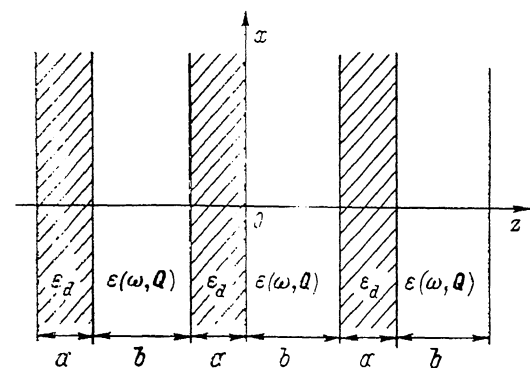


Рис. 1. Чередование слоев в рассматриваемой сверхрешетке.

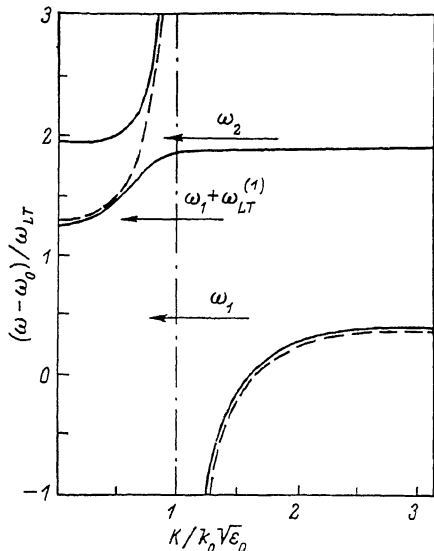


Рис. 2. Дисперсионная кривая для поперечных поляритонов, распространяющихся перпендикулярно слоям полупроводника со сверхрешеткой.

Сплошные линии — расчет по точной формуле (27) при $M/\mu_0=20$, $b k_0 \sqrt{\varepsilon_0}=1$; $a/b \ll 1$; штриховые — расчет в длинноволновом приближении [формула (25)].

между слоями: $\mathbf{r}\parallel = (x, y, 0)$. Удобно компоненты волнового вектора \mathbf{Q} нормальной волны переобозначить в виде x_x, x_y, K соответственно. При этом значения компоненты $Q_x \equiv K$ лежат в первой зоне Бриллюэна: $-\pi/(a+b) < K \leq \pi/(a+b)$.

Внутри каждого слоя электрическое поле $E_Q(z)$ является суперпозицией плоских волн:

$$E^+ e^{ikx} + E^- e^{-ikx} \quad \text{при } -a < z < 0, \quad (4)$$

$$\sum_{l=1}^3 (E_l^+ e^{ik_l z} + E_l^- e^{-ik_l z}) \quad \text{при } 0 < z < b.$$

Здесь $k = (n^2 k_0^2 - x^2)^{1/2}$, $n = \sqrt{\varepsilon_d}$, $k_0 = \omega/c$ — волновой вектор света в вакууме, индекс l нумерует ветви поперечных ($l=1, 2$) и продольных ($l=3$) нормальных волн в однородной бесконечной среде с диэлектрической проницаемостью (1). Волновой вектор (x_x, x_y, k_l) этих волн удовлетворяет дисперсионному уравнению

$$k_l^2 + x^2 = k_0^2 \varepsilon(\omega, \sqrt{k_l^2 + x^2}) \quad \text{при } l=1, 2, \quad (5)$$

$$\varepsilon(\omega, \sqrt{k_l^2 + x^2}) \quad \text{при } l=3.$$

Для световой волны (3) вклад выделенного экситонного резонанса в поляризацию среды $\mathbf{P}_Q(z)$ в области $0 < z < b$ связан с амплитудами соотношением

$$4\pi\mathbf{P}_Q(z) = \sum_{l=1,2} (n_l^2 - \varepsilon_0) (\mathbf{E}_l^+ e^{ik_l z} + |\mathbf{E}_l^-| e^{-ik_l z}) - \varepsilon_0 (\mathbf{E}_3^+ e^{ik_3 z} + \mathbf{E}_3^- e^{-ik_3 z}), \quad (6)$$

где показатель преломления $n_l = (k_l^2 + x^2)^{1/2}/k_0$. Подстановка полей (4), (6) в максвелловские и дополнительные граничные условия [последние выбираем для определенности в формуле ДГУ Пекара $\mathbf{P}(0) = \mathbf{P}(b) = 0$] при $z = 0$ и $z = b$ с учетом блоховского характера решений приводит к системе алгебраических уравнений для определения амплитуд \mathbf{E}^\pm и \mathbf{E}_l^\pm . Условие ее разрешимости дает дисперсионное уравнение. Мы приведем здесь дисперсионное уравнение для нормальных волн, поляризованных параллельно границе раздела слоев (s -поляризация, или TE -мода),

$$\cos K(a+b) = [s_1 \bar{n}_1 (\eta_2 - 1) + s_1 \bar{n}_2 (\eta_1 - 1)]^{-1} \left\{ c [c_1 s_2 \bar{n}_1 (\eta_2 - 1) + c_2 s_1 \bar{n}_2 (\eta_1 - 1)] + \right. \\ \left. + s \bar{n}_1 \bar{n}_2 (1 - c_1 c_2) + s s_1 s_2 \left[1 - \frac{1}{2} \eta_2 (\bar{n}_1^2 + 1) - \frac{1}{2} \eta_1 (\bar{n}_2^2 + 1) \right] \right\}, \quad (7)$$

где

$$\bar{n}_l = k_l/k, \quad s = \sin ka, \quad c = \cos ka, \quad s_l = \sin k_l b, \quad c_l = \cos k_l b, \quad \eta_l = \eta_l^{-1} = (n_l^2 - \varepsilon_0)/(n_l^2 - \varepsilon_0).$$

В нерезонансной области частот, удовлетворяющей неравенству $|\omega_0 - \omega| > \omega_{LT}$, так что $|n_1/n_2|^2 \ll 1$ или $n_2^2/n_1^2 \ll 1$, с точностью до членов указанной малости уравнение (7) преобразуется к виду

$$\cos K(a+b) = c c_l - \frac{1}{2} \left(\frac{k_l}{k} + \frac{k}{k_l} \right) s s_l, \quad (8)$$

где $l = 1$ при $\omega < \omega_0$ и $l = 2$ при $\omega > \omega_L = \omega_0 + \omega_{LT}$. Уравнение (8) было получено в [6] для оптической сверхрешетки, состоящей из чередующихся слоев с диэлектрическими проницаемостями $\varepsilon_1(\omega)$ и $\varepsilon_2(\omega)$ без учета пространственной дисперсии.

3. Материальное уравнение с учетом коротковолновых составляющих электрического поля. Согласно (3), электрическое поле $\mathbf{E}_Q(\mathbf{r})$ можно разложить в ряд Фурье по «векторам обратной решетке» $G_m = 2\pi m_i(a+b)$:

$$\mathbf{E}_Q(\mathbf{r}) = e^{i(\mathbf{xr}_\parallel + \bar{K}z)} \sum_m \mathbf{E}_Q^{(m)} e^{iG_m z}. \quad (9)$$

В общем случае амплитуда вектора индукции $\mathbf{D}_Q^{(m)}$ связана линейным соотношением со всеми компонентами $\mathbf{E}_Q^{(m')}$:

$$D_{Q,\alpha}^{(m)} = \sum_{m',\beta} \varepsilon_{\alpha\beta}^{(m,m')}(\omega, Q) E_{Q,\beta}^{(m')}, \quad (10)$$

где $\alpha, \beta = x, y, z$. Для нахождения тензора $\varepsilon^{(m,m')}$ перепишем уравнение для поляризации $\mathbf{P}_Q(z)$ в области $0 < z < b$

$$\left(-\frac{\hbar}{2M} \nabla^2 + \omega_0 - \omega \right) \mathbf{P}_Q(\mathbf{r}) = \frac{\varepsilon_0}{4\pi} \omega_{LT} \mathbf{E}_Q(\mathbf{r}), \quad (11)$$

в эквивалентном виде (см., например, [8])

$$\mathbf{P}_Q(\mathbf{r}) = \frac{\varepsilon_0}{4\pi} \omega_{LT} \sum_{j=1}^{\infty} \frac{\psi_j(z)}{\omega_j(x) - \omega} \int_0^b dz' \psi_j(z') \mathbf{E}_Q(\mathbf{r}_\parallel^-, z'). \quad (12)$$

Здесь

$$\omega_j(x) = \omega_0(x) + \Omega_j^2, \\ \omega_0(x) = \omega_0 + \hbar x^2/(2M), \quad \Omega = \hbar \pi^2/(2Mb^2), \quad (13)$$

$\psi_j(z)$ — собственные функции механического экситона в области $0 < z < b$:

$$\psi_j(z) = \sqrt{\frac{2}{\pi}} \sin \frac{\pi j z}{b} \quad (j = 1, 2, \dots). \quad (14)$$

Они удовлетворяют граничным условиям $\psi_j(0) = \psi_j(b) = 0$, соответствующим ДГУ Пекара.

Подставим разложение (9) в (12) и разложим в ряд типа (9) вектор электрической индукции, который при $-a < z < 0$ равен $\varepsilon_d \mathbf{E}_Q(\mathbf{r})$, а при $0 < z < b$ равен $\varepsilon_0 \mathbf{E}_Q(\mathbf{r}) + 4\pi \mathbf{P}_Q(\mathbf{r})$. В результате получим

$$\begin{aligned} \varepsilon_{\alpha\beta}^{(m, m')}(\omega, \mathbf{Q}) &= \delta_{\alpha\beta} \varepsilon^{(m, m')}(\omega, \mathbf{Q}), \\ \varepsilon^{(m, m')}(\omega, \mathbf{Q}) &= \varepsilon_d \delta_{mm'} + (\varepsilon_0 - \varepsilon_d) \frac{b}{a+b} f(G_{m'-m} b) + \\ &+ \frac{\varepsilon_0 \omega_{LT}}{a+b} \sum_{j=1}^{\infty} \frac{I_j^{(m)*}(K) I_j^{(m')}(K)}{\omega_j(z) - \omega}, \end{aligned} \quad (15)$$

где

$$\begin{aligned} I_j^{(m)}(K) &= \frac{\pi j}{b} \sqrt{\frac{2}{b}} \frac{(-1)^j e^{i(K+G_m)b} - 1}{(K+G_m)^2 - (\pi j/b)^2}, \\ f(t) &= (e^{it} - 1)/(it). \end{aligned} \quad (16)$$

4. *Длинноволновый предел.* Уравнение (7) позволяет рассчитать дисперсию TE -волн при произвольных значениях частоты ω и параметров сверхрешетки a , b , ε_d , ε_0 , ω_0 , ω_{LT} , M . Однако многие важные свойства спектра нормальных световых волн в полупроводнике со СР можно выяснить, не решая точно уравнение (7) с громоздкой правой частью, а используя приближение длинных волн, когда

$$K, k, |k_2|, \sqrt{\varepsilon_0} k_0 \ll k_1, (a+b)^{-1}, \quad (17)$$

а величина $k_1(a+b)$ порядка единицы.

Удобно ввести величину $\mu_0 = \hbar \varepsilon_0 (\omega_0/c)^2 / (2\omega_{LT})$, имеющую размерность массы (см. [7]). В полупроводниках для основного экситонного состояния эффективная масса M обычно превышает μ_0 (в полупроводниках АІІВVI $M \gg \mu_0$). Тогда в области частот

$$\sqrt{\frac{M}{\mu_0}} \frac{\omega - \omega_0}{\omega_{LT}} \gg 1 \quad (18)$$

неравенства $|k_2|, \sqrt{\varepsilon_0} k_0 \ll k_1$ в (17) выполнены заведомо, и, кроме того, можно использовать приближенные соотношения

$$n_2^2 - \varepsilon_0 \simeq \frac{\varepsilon_0 \omega_{LT}}{\omega_0 - \omega}, \quad n_1^2 \simeq \varepsilon_0 \frac{M}{\mu_0} \frac{\omega - \omega_0}{\omega_{LT}}. \quad (19)$$

Анализ длинноволнового предела (17) мы начнем с частного случая волн, распространяющихся по оси z ($\kappa = 0$). Разлагая функции $\cos K(a+b)$, $\sin ka$, $\cos ka$, $\sin k_2 b$, $\cos k_2 b$ во втором порядке по малым параметрам $K(a+b)$, ka и $k_2 b$, в наименьшем порядке — по параметру $|k_2|/k_1 \ll 1$, получим дисперсионное уравнение

$$i(K/k_0)^2 = \bar{\varepsilon}(\omega), \quad (20)$$

$$\bar{\varepsilon}(\omega) = \langle \varepsilon \rangle + p(n_2^2 - \varepsilon_0) \left[1 - \frac{\text{tg}(k_1 b/2)}{(k_1 b/2)} \right],$$

где $p = b/(a+b)$, $\langle \varepsilon \rangle = \varepsilon_d(1-p) + \varepsilon_0 p$.

Функция $\bar{\varepsilon}(\omega)$ совпадает с компонентой $\varepsilon^{(0,0)}(\omega, \mathbf{Q} = 0)$ тензора (15), которая в рассматриваемом частном случае принимает вид

$$\varepsilon^{(0,0)}(\omega, 0) = \langle \varepsilon \rangle + \varepsilon_0 \sum_{N=0}^{\infty} \frac{|\omega_{LT}^{(2N+1)}|}{\omega_{2N+1}(0) - \omega}, \quad (21)$$

$$\omega_{LT}^{(2N+1)} = \frac{\delta p}{\pi^2 (2N+1)^2} \omega_{LT}. \quad (22)$$

Чтобы свести (20) к (21), нужно воспользоваться представлением (см. например, [9])

$$\frac{\operatorname{tg} z}{z} = 1 - \frac{8}{\pi^2} \sum_{N=0}^{\infty} \frac{z^2}{(2N+1)^2 \{z^2 - [(2N+1)\pi, 2]^2\}} \quad (23)$$

и приближенными соотношениями (19).

При $z \neq 0$ распространение нормальных световых волн в рассматриваемом приближении описывается тензором эффективной диэлектрической проницаемости $\tilde{\epsilon}$, имеющим две линейно независимые компоненты,

$$\begin{aligned} \tilde{\epsilon}_{xx} &= \tilde{\epsilon}_{yy} = \epsilon^{(0,0)}(\omega, \kappa), \\ \tilde{\epsilon}_{zz} &= \langle \epsilon^{-1} \rangle^{-1} \left[1 + \sum_{N=0}^{\infty} \frac{\omega_{LT}^{(2N+1)}}{\omega_{2N+1}(\kappa) - \omega} \right]. \end{aligned} \quad (24)$$

Здесь $\langle \epsilon^{-1} \rangle = (1-p)\epsilon_a^{-1} + p\epsilon_0^{-1}$, а $\epsilon^{(0,0)}(\omega, \kappa)$ отличается от $\epsilon^{(0,0)}(\omega, 0)$ заменой в (24) частоты $\omega_{2N+1}(0)$ на частоту $\omega_{2N+1}(\kappa)$. При выводе (24) учтено, что из-за непрерывности при $z=0$ и $z=b$ тангенциальных составляющих электрического поля и нормальной составляющей электрической индукции в длинноволновом приближении компоненты поля E_x, E_y в каждом слое совпадают с «макроскопическим» полем, получаемым усреднением по периоду $(a+b)$, а нормальная составляющая поля в слое толщиной a или b отличается от «макроскопического» поля в $(\epsilon_a \langle \epsilon^{-1} \rangle)^{-1}$ или $(\epsilon_0 \langle \epsilon^{-1} \rangle)^{-1}$ раз соответственно. Отметим, что при ДГУ, отличных от ДГУ Пекара, выражение для $\tilde{\epsilon}_{zz}$ имеет более сложный вид.

5. *Обсуждение результатов.* Для простоты в дальнейшем мы проанализируем случай $\epsilon_a = \epsilon_0$. В этом случае все три диагональные компоненты тензора $\tilde{\epsilon}$ совпадают, и в длинноволновом приближении нормальными световыми волнами являются или поперечные волны с $\mathbf{E}, \mathbf{P} \perp \mathbf{Q}$, или продольные волны с $\mathbf{E}, \mathbf{P} \parallel \mathbf{Q}$, дисперсионное уравнение для которых имеет соответственно вид

$$(Q/k_0)^2 = \tilde{\epsilon}(\omega, \mathbf{Q}) \quad \text{или} \quad \tilde{\epsilon}(\omega, \mathbf{Q}) = 0, \quad (25)$$

где

$$\tilde{\epsilon}(\omega, \mathbf{Q}) = \epsilon_0 \left[1 + \sum_{N=0}^{\infty} \frac{\omega_{LT}^{(2N+1)}}{\omega_{2N+1} + \frac{\hbar Q^2}{2M(\theta)} - \omega} \right], \quad (26)$$

$\omega_{2N+1} = \omega_{2N+1}(0)$, $M(\theta) = M/\sin^2\theta$, θ — угол между направлением вектора \mathbf{Q} и осью z . Согласно (26), рассматриваемая среда в области частот ω_{2N+1} характеризуется аномальной дисперсией: вблизи этих частот световая прямая $\omega = cQ/\sqrt{\epsilon_0}$ пересекается с кривыми дисперсии механического экситона $\omega = \omega_{2N+1} + \hbar Q^2/[2M(\theta)]$ и происходит перестройка спектра с образованием поляритонов, т. е. гибридных возбуждений из объемных фотонов и экситонов, локализованных в слоях толщиной b . При наклонном распространении волны эффективная масса $M(\theta)$ конечна, и в рассматриваемой среде со СР, так же как и в однородной среде с пространственной дисперсией, существуют добавочные световые волны. При распространении вдоль слоев, т. е. при $\theta = \pi/2$, $M(\theta) = M$ и эффекты пространственной дисперсии максимальны. При нормальном распространении, когда $\theta = 0$ или π и $M(\theta) = \infty$, пространственная дисперсия диэлектрической проницаемости $\tilde{\epsilon}$ исчезает и каждому значению ω отвечает единственное значение K . Отсутствие дополнительных световых волн в этом случае физически объясняется невозможностью «механического» переноса энергии возбуждения вдоль оси z , так как слой толщиной a является безэкситонным, а туннелированием экситонов между слоями пренебрегается. Для феноменологического учета процессов релаксации можно в (26) заменить ω_{2N+1} на $\omega_{2N+1} - i(\Gamma/2)$, где Γ — затухание экситонов.

На рис. 2, 3 приведены кривые дисперсии для экситонных поляритонов в полупроводнике со СР для двух значений толщины b , при которых $bk_0\sqrt{\varepsilon_0}=1$ и 2 соответственно. Дисперсионные кривые рассчитаны для нормально распространяющихся поляритонов в частном случае $(a/b) \ll 1$, таком, что туннелированием экситонов между слоями можно по-прежнему пренебречь, и применено уравнение (7), в котором можно переходить к пределу $a \rightarrow 0$ и оно преобразуется к виду (при $\varepsilon_d = \varepsilon_0$)

$$\cos Kb = \frac{c_1 s_2 n_1 (n_2^2 - \varepsilon_0) - c_2 s_1 n_2 (n_1^2 - \varepsilon_0)}{s_2 n_1 (n_2^2 - \varepsilon_0) - s_1 n_2 (n_1^2 - \varepsilon_0)}. \quad (27)$$

Сравнение дисперсионных кривых, рассчитанных по точной и приближенным формулам, показывает, что при $bk_0\sqrt{\varepsilon_0} \ll 1$ можно пользоваться приближением длинных волн. Для приближенного описания спектра в области дипольно запрещенных состояний (14) с $j=2N$ ($N=1, 2, \dots$) нужно включить в выражение (26) для $\bar{\varepsilon}$ слагаемые $\varepsilon_0 \omega_{LT}^{(2N)} / |\omega_{2N}(\kappa) - \omega|$, где $\omega_{LT}^{(2N)} = (Kb)^2 \omega_{LT}^{(1)} / (4N)^2$. При $bk_0\sqrt{\varepsilon_0} > 1$ условия приближения длинных волн (17) нарушаются, и расчет энергетического спектра нормальных волн в области продольной частоты ω_L нужно проводить с использованием точных формул (7) или (27).

До сих пор предполагалось, что толщина слоя b превышает боровский радиус экситона

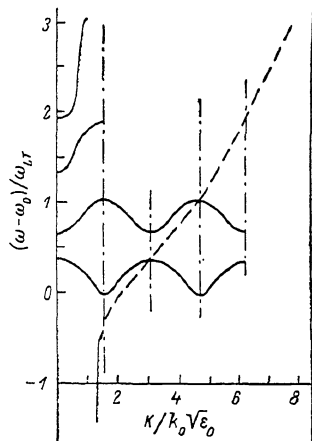


Рис. 3. Дисперсионная кривая для поперечных поляритонов, распространяющихся перпендикулярно слоям полупроводника со сверхрешеткой.

Сплошные линии — расчет по формуле (27) при $M/\mu_0=20$, $bk_0\sqrt{\varepsilon_0}=2$; $a/b \ll 1$ (для удобства две ветви изображены в схеме расширенных зон); штриховая — дисперсионная зависимость экситонных поляритонов ветви 1 в однородной среде с диэлектрической проницаемостью (1). Штрихпунктирные вертикальные прямые $i=1-4/4$ указывают значения волнового вектора $K=i\pi/b$, кратные половине вектора обратной решетки G_1 .

в однородной среде $a_B = \varepsilon_0 \hbar^2 / \bar{m} e^2$ (\bar{m} — приведенная масса электрона и дырки, образующих экситон). При малой толщине b , при которой происходит размерное квантование состояний электронов и дырок, нужно учитывать изменение матричного элемента оптического возбуждения экситона при переходе от трехмерного случая к двумерному. Для нижнего экситонного резонанса в этом случае величина продольно-поперечного расщепления $\omega_{LT}^{(1)} = (8/\pi^2) p \omega_{LT}$ в (26) заменяется на величину $\pi^2 (a_B/b) \omega_{LT}^{(1)} = 8 \omega_{LT} a_B / (a+b)$, где по-прежнему ω_{LT} — продольно-поперечное расщепление экситона в однородной среде.

Экспериментально экситонные поляритоны в полупроводниках со СР можно изучать по спектрам оптического пропускания или зеркального отражения, спектрам экситонной люминесценции и резонансного мандельштам-бриллюэновского рассеяния. В частности, в спектре отражения при нормальном падении света должны наблюдаться области остаточных лучей, положение и ширина которых существенно зависят от толщины слоев a и b .

В областях остаточных лучей полубесконечной СР с эффективным диэлектрическим тензором (24) возможно существование поверхностных экситонных поляритонов [10]. Для них эффекты пространственной дисперсии будут проявляться в зависимости энергии от двумерного волнового вектора κ , лежащего в плоскости слоев СР (поверхность кристалла может быть параллельна или перпендикулярна оси СР).

В заключение отметим, что представляет интерес изучить, каким образом на спектр поляритонов влияют дефекты (отклонения от строгой периодичности) СР. Как и в задаче о плазмонах в полупроводнике со СР [11], дефекты могут быть связаны с нарушением геометрии СР, определяемой параметрами a и b , или диэлектрических свойств, заданных функциями (1) и (2).

Авторы благодарны А. В. Селькину и И. Н. Уральцеву за полезное обсуждение работы.

Л и т е р а т у р а

- [1] Силин А. П. Полупроводниковые сверхрешетки. — УФН, 1985, т. 147, в. 3, с. 485—521.
- [2] Camley R. E., Rahman T. S., Mills D. L. — Phys. Rev., 1983, v. B27, N 1, p. 261—277.
- [3] Camley R. E., Mills D. L. — Phys. Rev., 1984, v. 29, N 4, p. 1695—1706.
- [4] Xue D. P., Tsai C. H. — Sol. St. Commun., 1985, v. 56, N 8, p. 651—654.
- [5] Shi H., Tsai C. H. — Sol. St. Commun., 1984, v. 52, N 12, p. 953—954.
- [6] Agranovich V. M., Kravtsov V. E. — Sol. St. Commun., 1985, v. 55, N 1, p. 85—90.
- [7] Ивченко Е. Л. Эффекты пространственной дисперсии в области экситонного резонанса. — В кн.: Экситоны / Под ред. Э. И. Рашбы, М. Д. Стерджа. М., 1985, с. 107—129.
- [8] Киселев В. А., Макаренко И. В., Разбирин Б. С., Уральцев И. Н. Размерное квантование экситонов. — ФТТ, 1977, т. 19, в. 8, с. 1348—1355.
- [9] Смирнов В. И. Курс высшей математики, т. III. М., 1974.
- [10] Поверхностные поляритоны / Под ред. В. М. Аграновича, Д. Л. Миллса. М., 1985. 525 с.
- [11] Кособукин В. А. Локальные плазменные колебания в сверхрешетке двумерного электронного газа. — ФТТ, 1986, т. 28, в. 7, с. 1965—1969.

Физико-технический институт
им. А. Ф. Иоффе АН СССР
Ленинград

Получена 18.03.1987
Принята к печати 17.04.1987